243-1444 на эвеновановие иничения высьиваю и и в в стия академии наук армянской сср

Տեխնիկական օրտութ, սեւ է

XX, No 2, 1967

Стопи технических ваум

ЭЛЕКТРОТЕХНИКА

HEIRINI 2 II

НАГРЕВ ЯВНОПОЛЮСНЫХ РОТОРОВ ТОКАМИ РАЗНЫХ ЧАСТОТ

Практика проектирования и эксплуатации современных высокопроизводительных машии выдвигает залачу создания метода расчета лополнительных потерь и обусловленного ими нагрева. Проведение экспериментов для определения дополнительных потерь и обусловлениых ими превышений температуры на крупных машинах сопряжено с трудностями, которые в настоящее время представляются практически неодолимыми. Поэтому приходится вести исследования на машинах небольшой мощности, имеющих в принципе такую же конструкцию, как и крупные машины, и затем, полученные выводы распространить с известным приближением на крупные машины. К электрическим машинам с принудительной вентилинией примении принцип наложения превышений температуры [1]. Поэтому превышения температуры, обусловленные гармониками тока статора при гработе температора на несинусондальную пагрузку, можно раздельно определять для каждой гармоники.

Сущность проведенных автором экспериментов состояла в следующем. К статору синхронного генератора, приводимого во вращение синхронным двигателем, поочередно подводились трехфазны напряжения разных частот и определялись превышения температуры на працающемся роторе при замкнутой накоротко обмотке возбуждения

В качестве испытуемой машины был изят синхронный двигательтипа СД 102-8 ($P_{\rm R}=75~\kappa sm^-U_{\rm R}=380~s,\cos\varphi=0.9$ (опер.), $n=750~\sigma \delta/мин$).

Опыты нагрева были проведены:

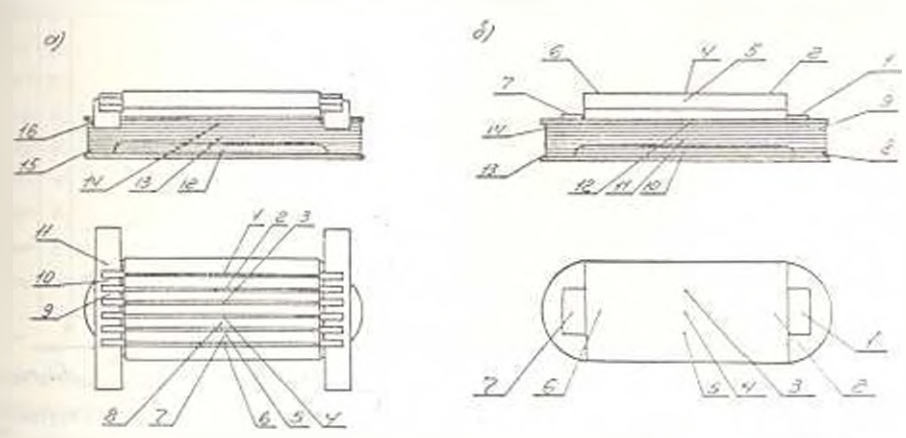
на роторе I с полюсями, набранными из листовой стали ($\Delta=1$.и.и.) с полион успоконтельной обмоткой из меди. Отношение веся успоконтельной обмотки к весу меди обмотки возбуждения m=0,22 i;

на роторе 2 с теми же полюсами, но с неполной успокоительной обмоткой (конструкция успокоительной обмотки позволяла разомкнуть соединительные сегменты между полюсами);

на роторе 3 с теми же полюсами, но без успоконтельной обмотки.

Местные превышения температуры контуров ротора были определены с помощью термопар медь-константан. Методика измерений подробно изложена в [2]. Э.д.с. термопар определялась компенса-

ционным методом. Погрешность при измерениях превышений температуры на роторе I составляла примерно I С. Позднес точность измерений была повышена и для роторов 2 и 3 погрешность не превосходила 0,5 С. Термопары были заложены во все стержии успоконтельной обмотки, в железо наконечника и на участках соединительного сегмента между стержиями (рис. 1). В катушку полюса термопары были заложены по высоте и по длине.



Ввиду малости размеров наконечника и хорошей теплопередачи между его элементами, превышения температуры всех стержией и поверхности полюского наконечника на середине длины полюса с успокоительной обмоткой были одинаконы. Для полюса без успокоительной обмотки превышения температуры были одинаковы в точках поверхности наконечника на середине его длины. За превышение температуры всего наконечника принималось превышение температуры на середине его длины. За превышение температуры на середине его длины. За превышение температуры обмотки возбуждения принималось среднее превышение температуры, определенное методом сопротивления.

Опыты нагрева испытуемой машины были проведены при неизменном действующем значении тока статора преимущественно в интервале частот 10 ± 340 гд. Экспериментальные данные, полученные из опытов нагрева, были использованы для решения уравнений частичных превышений температуры, составленных для наконечника и катушки полюса. Частичное превышение температуры элементов ротора, обусловление нотерями в статоре, пренебрежимо мало |2, 113 уравнений были определены превышения температуры наконечника 5, и катушки 6% полюса, обусловленные потерями только в них самих.

На рис. 2. 3 и 4 представлены зависимости $\frac{6}{8}$ и $\frac{6}{8}$ от частоты. Для всех трех роторов $\frac{6}{9}$ значительно больше $\frac{6}{8}$.

Параллельно с измерением температур измерялась электрическая мощность, подведенная к статору испытуемой машины. Потери в роторе при разных частотах тока равны:

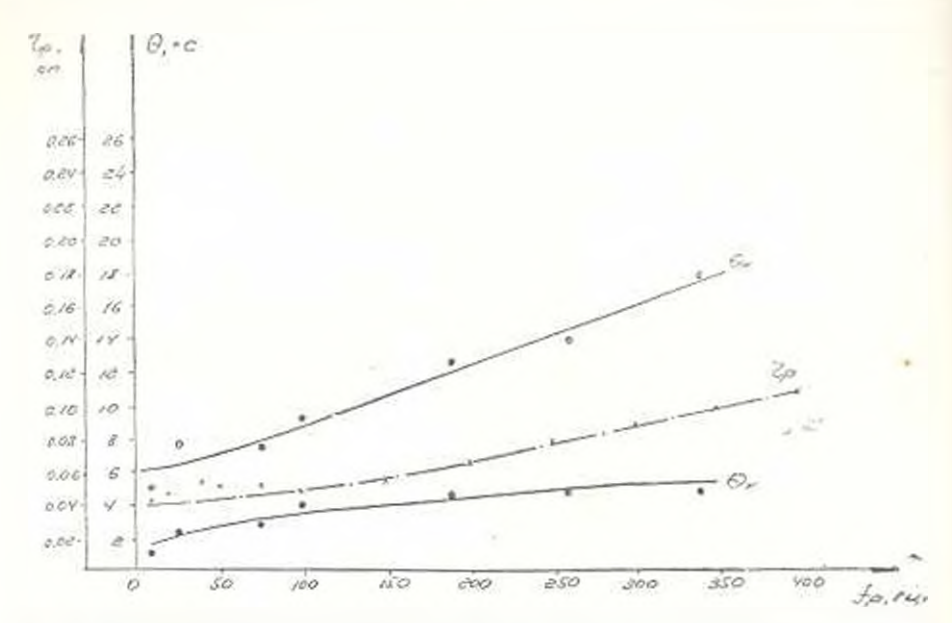


Рис. 2. Зависимость от частоты препышения температуры наконечника и катушки во-бужления ротора I при пращении и I=60а: $r_{\rm D}=$ частотная характеристика активного сопротивления ротора I

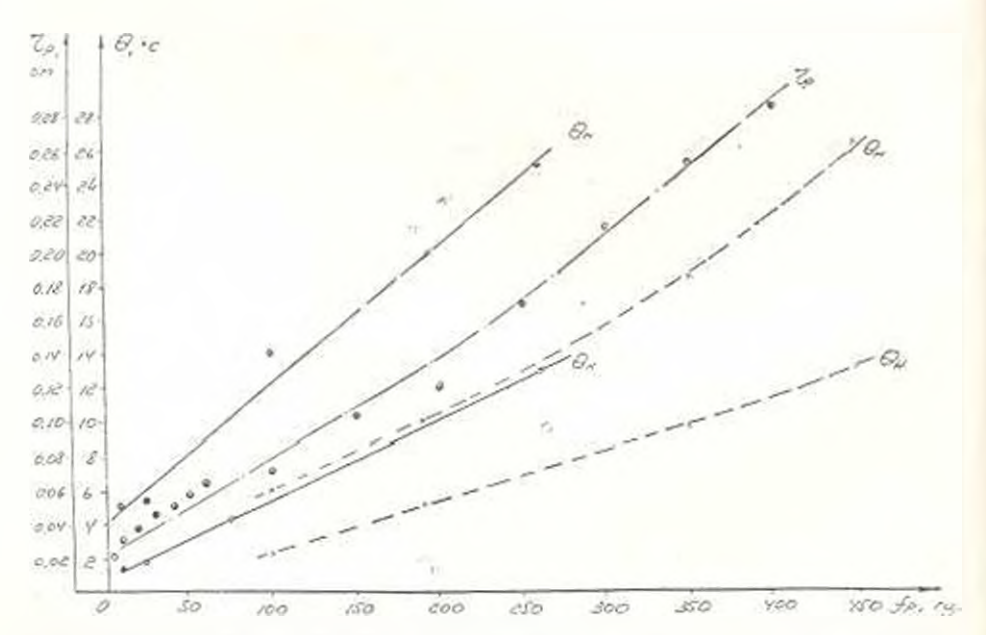


Рис. 3. Занисимость от частоты превышения температуры наконечника и катушки ротора 2 при вращения: — при I_c 60a; — при I_t 45a: I_p — частотная характеристика активного сопротивления ротора 2.

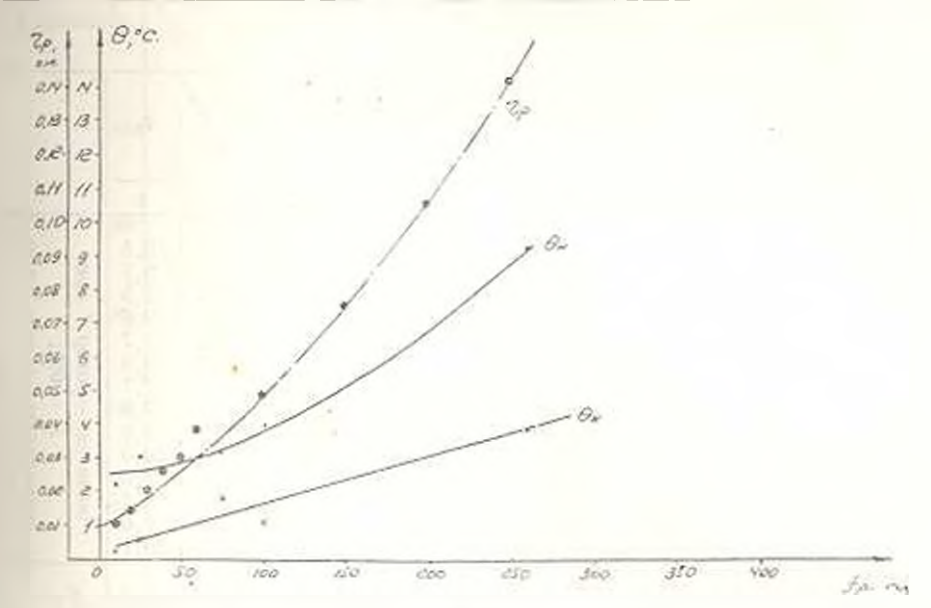


Рис. 4. Зависимость от частоты прешинисний температуры каконечника и катушки возбуждения ротора β при пращении и $h=35\pi;$ $r_0 + 48$ стотивы характеристика сопротиваемия ротора δ

$$\Delta P_{\rm p} = (P_{\rm c} \mp \Delta P_{\rm c}) (-s), \tag{1}$$

где Р_с мощность, подведенная к статору при рязных частотах тока;

 $\Delta P_c = 3P_c r_{cs} -$ потери в меди обмотки статора;

/e— действующее значение тока статора при разных частотах:

г_{са} — активное совротивление фазы обмотки статора токам разных частот при температуре, полученной в окыте нагрева [3];

скольжение ротора относительно поля статора.

При положительном s (режим двигателя или электромягнитного тормоза) перед ΔP_{\pm} пеобходимо изять знак (—).

Для проверки потери в роторах I и 2 определялись также со стороны приводного двигателя, предварительно тарированного.

Полученные данные по измерениям потеры приводены в табл. 1. При разных частотах произведено разделение потеры в полюсах на потери в наконечниках $\Delta P_{\rm H}$ и потери в обмотке возбуждения $\Delta P_{\rm HB}$

$$\Delta P = f_o^2 r_{\text{eff a}}, \qquad (2)$$

где I_{y} — ток, наведенный в обмотке возбуждения, при разных частотах тока статора:

тов. — активное сопротивление обмотки возбуждения токам разных частот при температуре, полученной в опыте нагрева испытуемой мяшины [4]

$$\Delta P_{\rm u} = \Delta P_{\rm s} - \Delta P_{\rm eff}. \tag{3}$$

Таблица 1

| Habroral; ior | (co e10- poma e7a- topa 1(M) | | ΔP_{00} | 2/4 | $\frac{\Delta_{i}}{\Delta P_{i}}$ | 3 <i>P</i> 49 | 4.1H | I_{ℓ} | |
|------------------|------------------------------------|------|-----------------|--------------|-----------------------------------|---------------|-------------------|---------------------|---|
| | 6 d m; m | | | | 20.108 | ие бании | 4 | | |
| 10 | 584 75 | 311 | 17 26 | 367 49 | 0,96 0,65 | 22 1.89 | 4,5 | 9,5 | 11 |
| 21 | 965 | | 17 | 919 | 0,98 | 49 | 3,9 | 9,79 | 1 5 |
| 75 | 830 | 627 | 40 160 | 790 | U,95 | 20 | 2,4 | 9,8 7.7 0.0 | 1903 - P Teor |
| 160 | 864 344 | 767 | 60 206 | 804 13× | 0,93 | 13.5 | 2,6 | 9,9 7,7 9,8 | $\frac{1}{k} \frac{160}{600}$ |
| 190 | 1020 | 939 | 135 326 | 885 335 | 0,57 0,50 | 6,G | 2,9 | 9,8 | 4 / / / / / / / / / / / / / / / / / / / |
| 260 | 1310 870 | 1155 | 216 423 | 1094 | 0,835 0,83 | 5.1 | 2,8 2,3 3,5 | 10.0 7.5 10,1 | 100 |
| 340 | 1570 | 1489 | 316 | 1254 | 0,80 | 1,08 | 3.5 | 7.6 | Pluc. |
| 10 | 415 | 400 | 32 | 393 | 0,925 | 12,0 | 3.7 | 10,3 | (A)II. |
| 25 | 757 | 593 | -10 | 717 | 0.947 | 15,0 | 2,68 | 8,35 10,3 7,7 | |
| Zh | _ | 869 | 75 | 791 | 0,914 | 10.6 | 2,0 | 10.3 | apu E |
| 110 | 1191 | 1267 | 92 | 1102 | 0,925 | 12.0 | 2,2 | 7,6 | 51 13 |
| 190 | 661 1820 | _ | 52 202 | 612 101 | 0,92 | 11,† 8,0 | | 7,8 10,6 7,8 | do Kd |
| 260 | 1018 2450 | 2456 | 111 300 | 907 2144 | 0.89 0.877 | 8.15 7,0 | 1,74 | 10.6 | 1 1 |
| 350 | 1000 | Line | - | - | - | 0.0 | | 7,9 10,5 | ≎ kg |
| 450 | 1983 2320 | | 261 | 1722 2130 | 0.87 | 6.6 5.5 | 1,6 | 7,8 | Hicame, op |

На табл. 1 вилно, что потери в наконечниках роторов / и 2 значительно больше, чем в обмотке возбуждения. Однако с возрастанием частоты доля потерь в обмотке возбуждения в полных потерях и роторе несколько возрастает.

На рис. 5 приведены зависимости результирующей индукции в зазоре от частоты для всех трех роторов при неизменном действующем значении тока статора. Обмотки возбуждения роторов замкнуты накоротко. Пидукции определялись по э.д.с. проводника, уложенного на новерхности полюсного наконечника. Измерения производились на неподвижных роторах, так как при этом э.д.с. проводника практически изменяется по синусондальному закону. Э.д.с. определялась с помощьк лампового польтметра типа Ф517 с $R_{\rm ex} = 0.3~Mom$. Измерения, произведенные при разных значениях тока статора, показали, что изменение индукции в зазоре прямо пропорционально току. Это вполне объяснимо, если учесть, что значительная часть пути переменного потока в зазоре проходит по воздуху. Крутой загиб вверх кривых индукции, имеющий место при низких частотах, объясняется

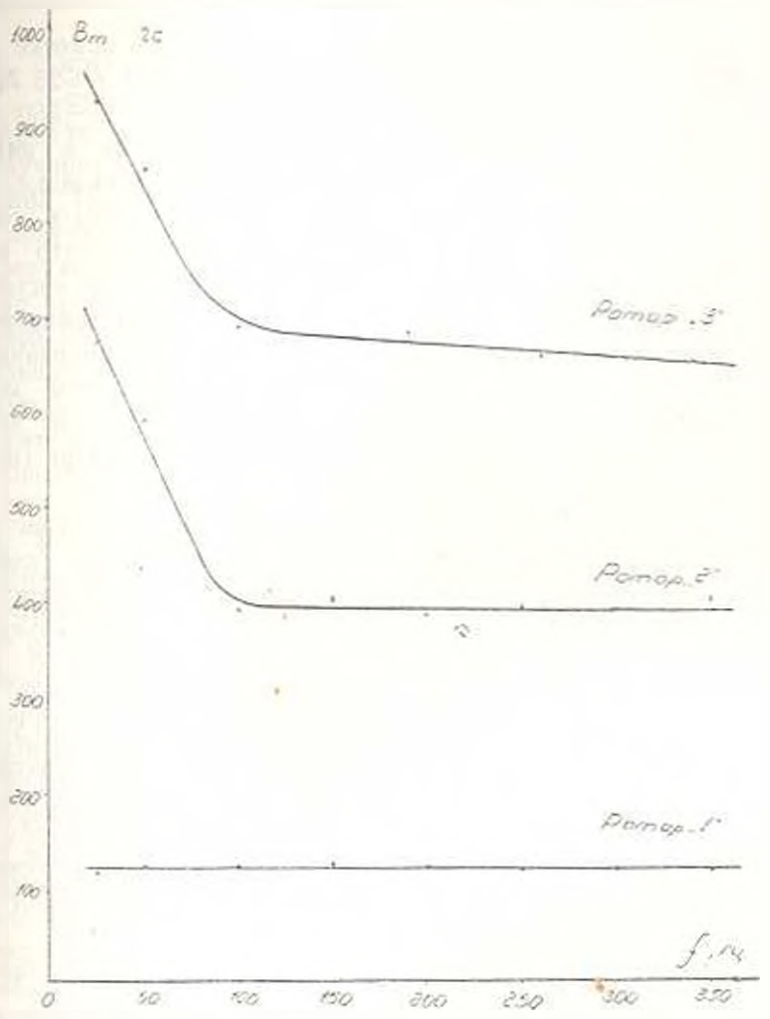


Рис. 5. Зависимость видукции в запоре ит частоты при 16 - 352

уменьшением экрянирующего действия ротора, которое зависит также от конструкции успоконтельной системы.

Результирующий магнитный поток в зазоре остается практически неизменным в интервале частот $25 \div 350$ гу для ротора I, в интервалеместот $100 \div 350$ гу — для ротора 2 и мало изменяется в интервалеместот $100 \div 350$ гу — для ротора 3. Поэтому можно считать, что в указаних интервалах частот м.д.с., создающая результирующий магнитный поток, практически неизменна по неличине. Эта м.д.с. получается от сложения м.д.с. обмотки статора с м.д.с. контуров ротора Вследствие неизменности действующего значения токов разных частот статора, величина м.д.с. обмотки статора не зависит от частоты Поэтому м.д.с. ротора тоже должна оставаться практически неизменной. Она состоит из м.д.с. усноконгельной обмотки, контуров в стали и обмотки возбуждения. В последней графе табл. 1 приведены значения токов, навеленных и обмотке возбуждения при соответствующим токов, навеленных и обмотке возбуждения при соответствующения токов.

щих токах разных частот статора. Величина тока в обмотке возбуждения практически не зависит от частоты, начиная с f=25 гд. Поэтому м.д.с. обмотки возбуждения в интервале частот 25-350 гд практически неизменна. Тогда можно предположить, что в интервалах частот, соответствующих роторам I, 2 и J, суммариая м.д.с. остальных контуров ротора (успоконтельная обмотка, контуры в стали наконечника) тоже не зависит от частоты. Это означает, что величина токов в контурах полюсного наконечника в интервалах частот, соответствующих роторам I, 2 и J, остается практически неизменной.

Когла токи в контурах не зависят от частоты, изменение потерь обусловлено от контурок поэтому зависимость активного сопротивления контура от частоты в некотором масштабе должна выражать зависимость потерь (превышений температуры) в контуре от частоты.

Па ряс. 2, 3 и 4 нанесены также частотные характеристики активных сопротивлений роторов $r_0 = \tau(f)$, представляющие собою зависимость от частоты активного сопротивления, эквивалевтирующего-активные сопротивления всех контуров ротора. Пастотная характеристика определялась при подведении к статору испытуемой машины грехфазного напряжения разных частот и при неподвижном роторе, сомотка возбуждения которого замкнута накоротко [2, 4, 5]. Когда потери выделяются в нескольких контурах, частотная характеристика эквивалентирующего активного сопротивления должна с некоторым приближением отражать нагрев того из контуров, в котором выделяется наибольшая часть полных потерь. Поэтому для роторов I и 2 пастотные характеристики должны отражать нагрев полюсного наконечника в соответствующих интервалах частот.

| | | | | | | | | _ | Ta6.tu | ца 2 |
|---------|---|------------|------------|-------------------|------------|--------------|--------------|--------------|--------------|------|
| 4, | Частова, га | | 25 | 50 | 150 | 200 | 250 | 300 | 3 50 | 400 |
| oropy / | ⁶ п прп I _c = 6 ы, С | 6,0 6,8 | 6.4 | 7,0 | 10,4 | 12.3 | 11.0 | 15 15, 1 | 17 8 17 5 | |
| Penga | $\frac{b_{\rm H}}{I_{\rm c}}$ npm $I_{\rm c}=60$ a. C | 4.7 | 5,0 5,5 | $\frac{8.1}{7.8}$ | 16.3 | 21,3 | 24.5 26.8 | _ | _ | _ |
| J.C. | при 7—45а, С | | - | | 8,2 8,2 | 10.4 10.5 | 12,9 | 15,7 16,2 | 18,7 | 22,3 |

В табл. 2 привелены превышения температуры наконечника, полученные по опытным данным (числитель) и по следующей формуль (знаменатель)

$$\theta_{af} = r_{pf} \tag{4}$$

и $r_{p_{im}}$ - превышение температуры полюдного наконечника и активное сопротивление ротора при частоте, равной 100 гд; и r_{pf} — то же, но при частоте f.

Полученную точность определения 6, по (4) можно считать присмлемой. Причем, как это видно на табл. 2, уто данные получаются и при частотах ниже 50 гг и выше 2 гг.

В результате проведенного исследования можно отметить, что в дианазоне частот 10±450 гд большая часть потерь роторов с успоконтельной обмоткой выделяется в этой обмотке; для роторов с успоконтельной обмоткой тенлостим с наконечника значительно лучие чем с катушки возбуждения. Поэтому отношение предостина температуры наконечника и катушки нозбуждения зиринтельно меньше, чем отношение потерь в них. Для изученной мандивы в диапазове частот 10 = 350 гд отношение превышения температуры изходится в пределах 4 - 2, отношение потерь в пределах 20 + 5. С. возраст инем частоты от 10 до 340 ги доля потерь, выпеляющихся в наконе никах ротора с полной услоконтельной обмоткой, убливет соответственно с 96° до 80° с. С возрастанием частоты от 10 до 45° гд доля потерь, выделяющихся в наконечниках ротора с путалной успоконтельной обмоткой, убывает с 93% до 85%... За счет этого возрастает доля потеры в обмотке возбуждения. Перерасиределение потерь в полюсе в сторону увеличения доли потерь п обмотке гозбун дения весьма нежелательно, так как ухудинается тепловой режим обмотки возбуждения. При отсутствии успоконтельной обмотии потери в полюсе распределяются между наконечником и катушнов приблизительно порозну. Такое распределение сохраняется с возрастанием частоты.

Для синхронных машии небольшой и средней мощности по частотной характеристике активного сопротивления ротора, имеющего мощную успоконтельную обмотку (m = 0.226), зная θ_0 при частоте, равной 100 гг, можно определять θ_0 и диапазоне часто: 10 - 400 гг.

Автор выражает глубокую благо, прость В. В. Алексовскому за ценные замечания, учтенные в статье.

Ерозанский политехнический институт им. К. Маркей

Hecromao 28.VI.1966.

ъ. ч. ъмизиъ

ՔԱՏԱՀԱՅՏ ՔԵՎԵՐԵԵՐԻՍ, ՌՈՏՈՐՆԵՐԻ ՏԱՐԱՆՈՒՄԸ ՏԱՐՄԵՐ ՀԱՃԱԽՈՒԹՅԱՆ ՀՈՄԱՆՔԵԵՐԻ5

Und property

երիվ և ոչ լրիվ - հղտաացնող ազնձև փաքույքում բ - տոտ բնեսներով ոստորի և առանց չանդստացնող փաքույքի սոտորի տաշացման գործնակ : ավյալների ,իման - որոշվում բննսային ծայրապանանի և գրդոմաս երանց միշև 10–400 հց Համահության իստերվաշում։

Հանցստացնող փաքույն ունեցող ռոտորների կորուսաների ամննամեն մասն առաջանում է շանգստացնող փաքույնում։ Այս — անքը թույլ է մայիս ստարի կոնտուրների (ռոտնքների (աստատուն արժեքների դեպքում ընհոային ծայրապանակի շերժունյան մեծացումը, օգտվելով ստասրի ակտիվ դիմադրունյան (առախականային ընունադրից

JIHIEPATYPA

- Исплия 7 г. О применении принципа положения при тепловы эксплуатычнонных исплатанием и тепловых расчетах электрических машии и грансформаторов Трулы ЛПП. № 1. Л. 1946
- И кало И. Г. Влавине насыщения на пагрен чиного тольного розгра с мезной успоконтельной обмоткой Трумы ЕрПИ, 1967.
- Бирессия И. С. «Активное сопротивление статора вонополюсной спихронной машины токам высших гармонно. Иза. АН Арм.ССР, серия техн. наук. з. XVIII. № 4, 1965.
- Барсечен Н. С. Антивное сопротивление контуров явиополюсного ротпра токам высших гармовик. Тр. ЕрПИ, 1966.
- Тер-Газарян Г. И. Патрев розора гидрогенер под г. бусловленный у полингельными потерями. «Электричество». № 8, 1963.